

مقایسه سرولوژیکی و الکتروفورتیکی دو جدایه خفیف و شدید ویروس موزائیک خیار (GMV) از گوجه فرنگی

Studies on Biological, Serological and Molecular Characteristics of Isolated of Cucumber Mosaic Cucumovirus (CMV) causing shoes-string and mild mosaic of tomato plants in Iran.

یزدان فضلعلی، علی آمون منش، محمدرضا حاجی مراد و علیرضا کریمی
دانشکده کشاورزی دانشگاه تربیت مدرس، دانشکده کشاورزی دانشگاه صنعتی اصفهان و
موسسه تحقیقات آفات و بیماریهای گیاهی

چکیده

دو جدایه ویروس موزائیک خیار (GMV) با علایم موزائیک خفیف در گوجه فرنگی (CMV-L1) و نیز نخی شدن برگهای گوجه فرنگی (CMV-LN) از لحاظ سرولوژیکی و وزن مولکولی واحدهای پروتئین پوششی و اسیدهای نوکلئیک مورد مقایسه قرار گرفتند. در آزمون سرولوژیکی نشت دو طرفه در آگارز پیکرهای ثبت نشده جدایه CMV-LN نسبت به CMV-LI در مقابل آنتی سرم CMV-FNy ایجاد مهیزک نمود در حالیکه در مقابل آنتی سرم CMV-S (گروه سرولوژیکی ۲) چنین واکنشی مشاهده نگردید. در بررسی های الکتروفورتیکی با استفاده از ژل پلی اکریل آمید، وزن مولکولی جدایه های CMV-LI و CMV-LN به ترتیب ۲۳۲۰۰ و ۲۵۰۰۰ دالتون تعیین گردید ولی هیچگونه تفاوتی از لحاظ شکل پیکرهای، وزن مولکولی، و تعداد اسیدهای ریبونوکلئیک دو جدایه وجود نداشت. با توجه به عدم وجود اسید ریبونوکلئیک وابسته در دو جدایه تفاوت در خصوصیات بیولوژیکی، سرولوژیکی و وزن مولکولی واحدهای پروتئین پوششی دو جدایه را باید در اسید ریبونوکلئیک های ژنومی آنها جستجو کرد.

مقدمه

ویروس موزائیک خیار (CMV) با دامنه میزبانی وسیع یکی از ویروسهای گیاهی شناخته شده است که در اکثر نقاط جهان یافت میشود و تاکنون بیش از ۱۰۰۰ گونه گیاهی میزبان برای آن شناسایی شده است (Edwardson and christie, 1986); (Palukaitis *et al.*, 1992). در دهه اخیر این ویروس موجب اپیدمی های خطرناکی در روی گوجه فرنگی و سایر گیاهان زراعی گردیده است (Palukaitis *et al.*, 1992). علایم معمول CMV در گوجه فرنگی از موزائیک خفیف تا شدید و از باریک شدن مختصر تا نخی شدن کامل (Shoe-string) (برگها است (Francki *et al.*, 1979; Smith, 1972; Gibbs and Harrison, 1970)

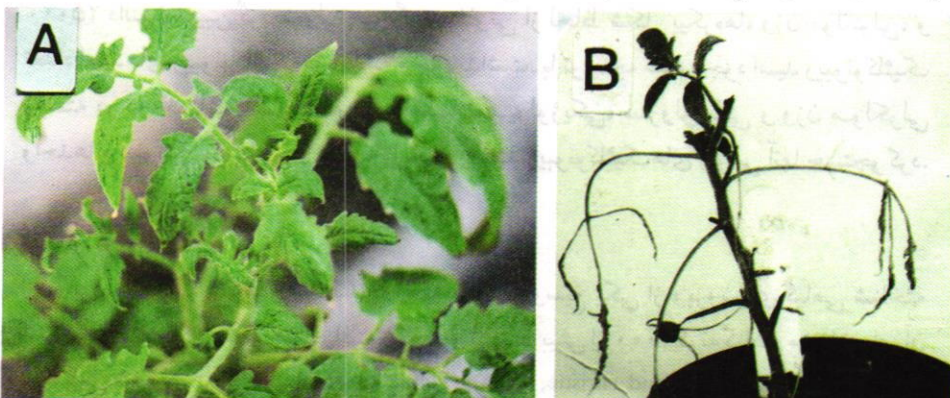
نژادهای بیولوژیکی متعددی برای ویروس موزائیک خیار شناسائی شده است (۱۳۴۸)، رحیمیان، ۱۹۷۵، الهی نیا و هابیلی ۱۳۶۳، علوی ۱۳۷۳ (Kaper & waterwooth, 1981) جدایه‌های CMV به سه گروه سرولوژیکی TORS، DTL و CO تفکیک شده‌اند (Devergne & Cardin, 1973). اما با نقشه برداری از پتیدهای پرووتین پوششی Edwards & Gonsalves, 1983) و هیبرید نمودن اسید نوکلئیک از نژادهای مورد مطالعه به دو گروه عمده تفکیک گردیدند (Owens & palukitis, 1986).

از آنجاکه CMV اینمنی زای ضعیفی است، با استفاده از گلوتارالدئید (Francki & Hatta, 1980) میتوان اینمنی زائی (Immuogenicity) آن را افزایش داد.

با توجه به اینکه نژادهای مسبب علایم خفیف در مطالعات حفاظت تقاطعی (Cross-protection) ویروسی موزائیک خیار مورد استفاده هستند (Dodds, 1982) و از طرفی چون در مطالعات اخیر، ادغام نمودن ژن مولد پروتین پوششی ویروس با ژنوم گیاه میزبان مقاومت مناسبی را در برابر ویروس ایجاد نموده است (Beachy *et al.*, 1990) بنابراین مقایسه دو نژاد خفیف و شدید CMV از جنبه‌های گوناگون مفید خواهد بود.

روش بررسی

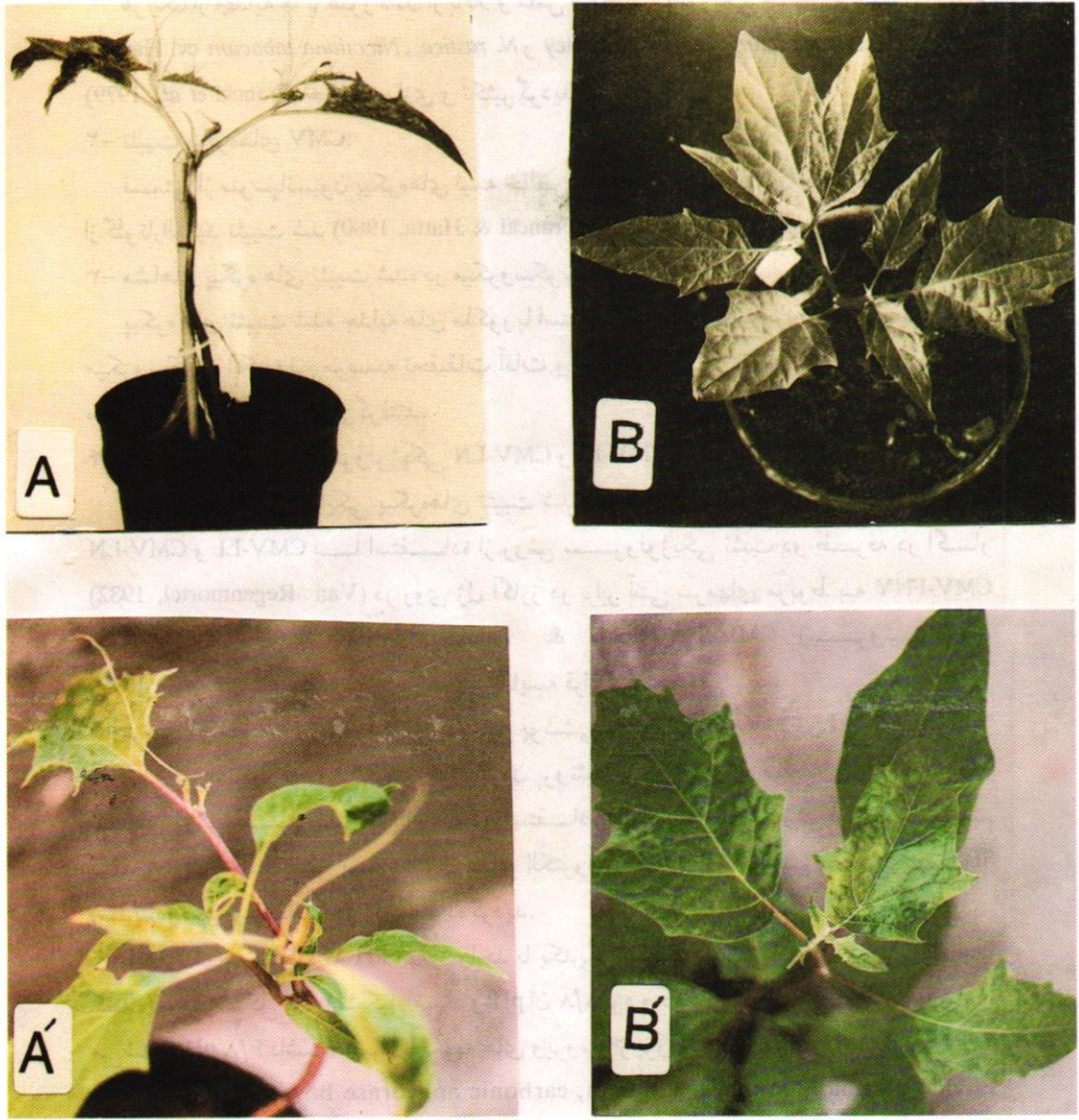
۱- منابع و آماده سازی ویروس (فصلعلی و همکاران، ۱۳۷۵) دو جدایه ویروس موزائیک خیار از میان تعدادی از جدایه‌های CMV جدا شده از گوجه فرنگی که یکی (CMV-LI) در گیاه گوجه فرنگی موزائیک خفیف و دیگری (CMV-LN) در همان گیاه نخی شدن شدید برگها را باعث میشندند (شکل ۱-۱) انتخاب و در این تحقیق به کار گرفته شدند.



شکل ۱-۱: واکنش سیستمیک گیاه *Lycopersicon esculentum* CV. Red cloud به

B:CMV-LN و A:CMV-LI

Fig. 1.1- Systemic reaction of *Lycopersicon esculentum* CV. Red cloud to A: CMV-LI
B: CMV-LN



شکل ۱-۲: واکنش گیاه *Datura stramonium* در شرایط محیطی مختلف نسبت به خالص شده

بیولوژیکی

A,Á: CMV-LN

B,B': CMV-LI

Fig. 1.2. The reaction to biological purified of A,Á: CMV-LN and B,B': CMV-LI of *Datura stramonium* under different environmental conditions

هر یک از جدایه ها با عبور دادن از باقلاء و ماش از لحاظ بیولوژیکی خالص و سپس در ارقام *N. tabacum* cv. white burley و *N. rustica*، *Nicotiana tabacum* cv. Havana مطابق روش (Francki et al., 1979) خالص سازی و تکثیر گردیدند.

۲- ثبیت پیکره های CMV:

قسمتی از سوسپانسیون پیکره های نیمه خالص دو جدایه مذکور بطور جداگانه و با استفاده از گلوتارالدئید ثبیت شد (Francki & Hatta, 1980) و بقیه بدون تیمار نگهداری گردید.

۳- مشاهده پیکره های ثبیت شده در میکروسکوپ الکترونی:

پیکره های ثبیت شده جداگانه مذکور با استفاده از استات اورانیل رنگ آمیزی منفی و در میکروسکوپ الکترونی موسسه تحقیقات آفات و بیماریهای گیاهی با بزرگنمائی های مختلف مورد مشاهده و مقایسه قرار گرفتند.

۴- مقایسه خصوصیات سروولوژیکی CMV-LI و CMV-LN:

خصوصیات سروولوژیکی پیکره های ثبیت شده (Fixed) و ثبیت نشده (Native) دو جدایه CMV-LI و CMV-LN با استفاده از روش سروولوژیکی نشت دو طرفه در آگار CMV-FNY (Van Regenmortel, 1982) در روی ژل آگارز در برابر آنتی سرمهای مربوط به CMV-S (Owens & Palukaitis, 1988) (سروتیپ یک)، (Pizzolla et al., 1979) مورد بررسی و مقایسه قرار گرفت.

۵- بررسی و مقایسه وزن مولکولی پروتئین پوششی دو جدایه CMV-LI و CMV-LN: برای این منظور از روش الکتروفورز کردن پروتئین بر روی ژلهای صفحه ای پلی اکریل آمید طبق روش عملی (Laemeli, 1970) استفاده شد. در این روش از یک سیستم SDS پافری تریس - گلایسین به عنوان بافر الکترودها و از یک سیستم بافری تریس (سدیم دودسیل سولفات) در ژل استفاده گردید.

ژلهای مورد استفاده که pH آنها ۲ واحد با یکدیگر تفاوت داشت یکی ژل زیرین (ژل جدا کننده) بود که $\frac{3}{4}$ کل ژل را تشکیل میداد و pH آن ۸/۸ بود و دیگری ژل بالایی که $\frac{1}{4}$ ژل را شامل می شد و pH ۶/۸ داشت، همراه با نمونه های ویروس از پروتئینهای استاندارد:

Bovine plasma albumin, ovalbumin, carbonic anhydrase bovin rabbit myosin, B-galactosidase, phosphorylase B

به ترتیب با وزن مولکولی تقریبی ۲۹، ۴۵، ۶۶، ۱۱۶، ۹۷/۴ کیلو دالتون جهت مقایسه و محاسبه وزن مولکولی واحد های پروتئین پوششی دو ویروس استفاده شد.

۶- جداسازی و ارزیابی اسید ریبونوکلئیک ها:

این آزمون طبق روش ارائه شده توسط (Peden & symons, 1973) برای بررسی و مقایسه اسید ریبونوکلئیک های ژنومی و غیر ژنومی دو جدایه CMV-LI و CMV-LN و تحت شرایط استریل استفاده گردید. الکتروفورز نمونه ها در دستگاه الکتروفورز افقی در ژل آگارز به غلظت

۱/۵ در صد انجام گرفت. پس از الکتروفورز نمونه‌ها، ژل مورد استفاده با اتیدیوم بروماید رنگ آمیزی و با کمک دستگاه Trasilluminator UV وضعیت حرکت اسید ریبونوکلئیک‌های تفکیک شده بررسی و مقایسه گردید.

بحث و نتیجه

۱- بررسی خصوصیات بیولوژیکی جدایه‌های مورد مطالعه: با توجه به بررسی و مقایسه جدایه‌های مورد مطالعه بر روی گیاهان محک در شرایط محیطی و فصول مختلف (فصلعلی و همکاران ۱۳۷۵) خفیفترین علائم مربوط به جدا شده (CMV-LI) و شدیدترین علائم نخی شدن کامل برگهای گوجه فرنگی مربوط به جدایه (CMV-LN) بود که شکل‌های (۱-۱) و (۱-۲) مovid آن هستند.

۲- خالص سازی، تثبیت پیکره‌ها و الکترون میکروسکوپ: همانطور که در شکل ۲-۱ و ۲-۲ نیز مشاهده میشود خالص بودن پیکره‌ها از هر گونه پیکره ویروسی دیگر نشان دهنده مطلوب بودن روش خالص سازی بیولوژیکی و روش خالص سازی آزمایشگاهی است و همینطور این شکلها نشان می‌دهد که پیکره‌های هر دو جدایه تفاوت قابل توجهی در شکل و اندازه پیکره ندارند.

۳- نتایج مقایسه خصوصیات سرولوژیکی:

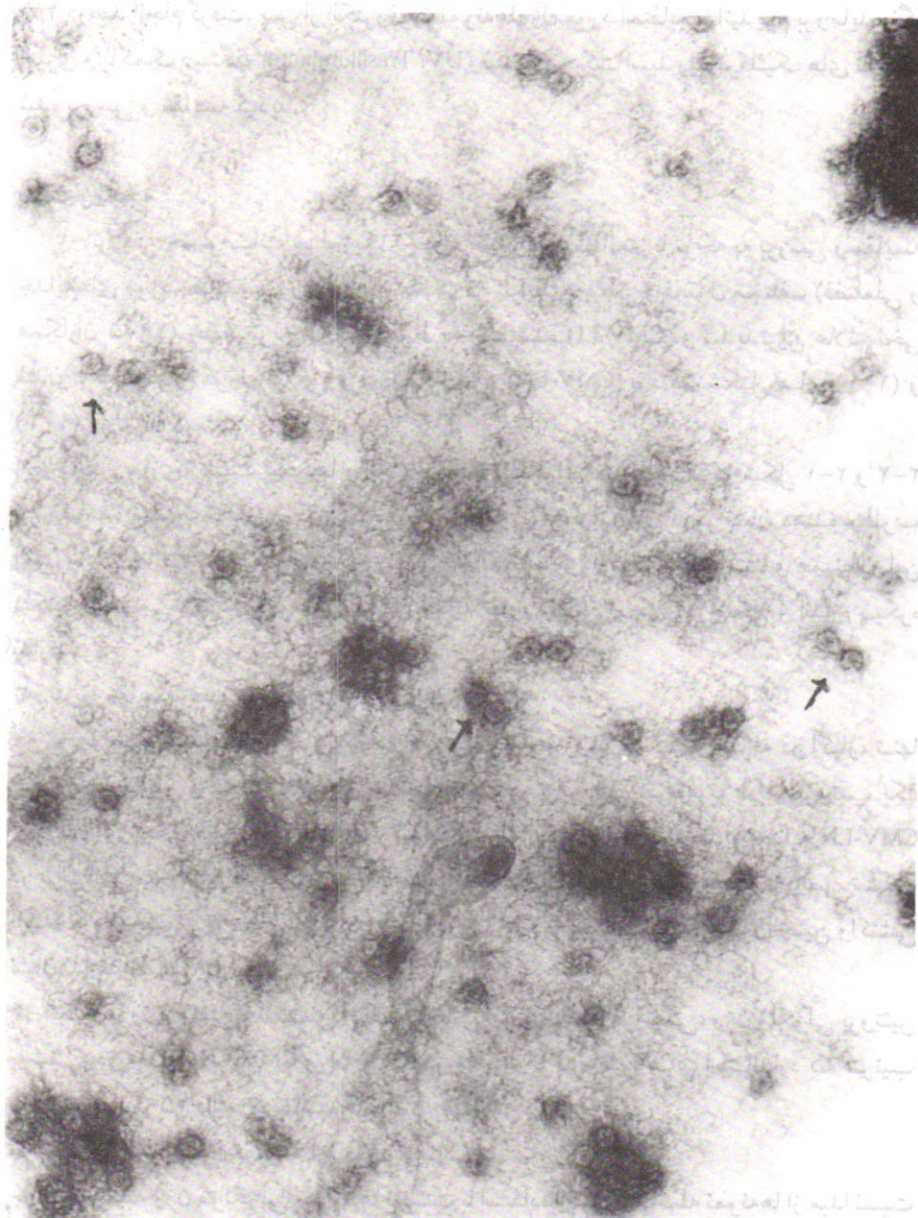
در مقایسه خصوصیات سرولوژیکی دو جدایه به روش نشت دو طرفه در آگار، تنها پیکره‌های خالص و تثبیت ناشده دو جدایه، آن هم در برابر آنتی سرم مربوط به سروتیپ یک ویروس موزائیک خیار (CMV-FNy) از لحاظ سرولوژیکی متفاوت بودند و جدایه CMV-LN در برابر آنتی سرم مربوط به سروتیپ ۱ مهمیزک تشکیل داد. ولی پیکره‌های خالص تثبیت ناشده و هم چنین پیکره‌های تثبیت شده هر دو جدایه در برابر دو آنتی سرم فوق چنین واکنشی نشان ندادند (شکل ۳).

۴- الکتروفورز پروتئین و اسید نوکلئیک: براساس نقش الکتروفورتیکی، وزن مولکولی پروتئین پوششی دو جدایه CMV-LN و CMV-LI در مقایسه با پروتئین‌های استاندارد به ترتیب ۲۲۲۰۰ و ۲۵۰۰۰ دالتون محاسبه گردید.

محاسبه وزن مولکولی نمونه‌های مورد آزمایش:

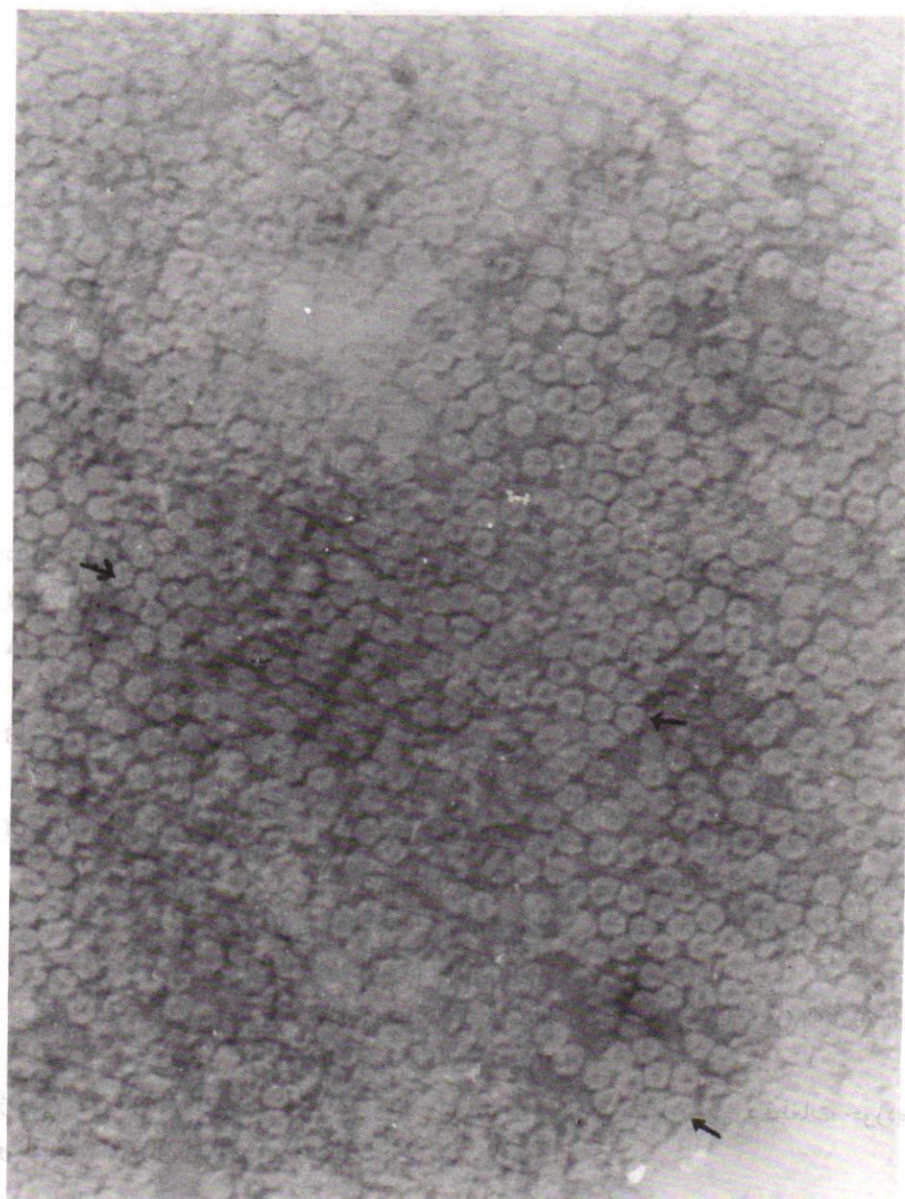
جهت محاسبه وزن مولکولی جدایه‌ها نخست با استفاده از نسبت فاصله نمونه‌ها از مبدأ نسبت به فاصله بروموفنول آبی از مبدأ (RF آنها) بدست آمد سپس با استفاده از از لگاریتم وزن مولکولی پروتئین‌های استاندارد و RF‌ها وزن مولکولی نمونه‌ها محاسبه گردید.

همانطوریکه در شکل ۵ مشاهده میشود تفاوتی در زون مولکولی و تعداد اسید ریبونوکلئیک‌های ژنومی مشاهده نگردید و فقط هر دو جدایه حاوی سه نوع اسید نوکلئیک



شکل ۱-۲: پیکرهای خالص (آزمایشگاهی) و تثبیت شده با گلوتارالدئید CMV-LN در میکروسکوپ الکترونی پس از رنگ آمیزی با استات اورانیل. بزرگنمائی 2×110000 میباشد.

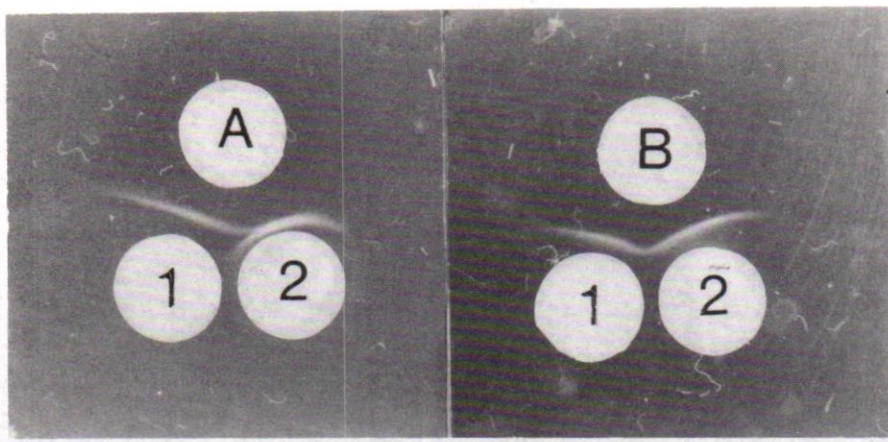
Fig. 1.2- The purified and glutaraldehyde fixed particles of CMV-LN after staining with uranil acetate (2×110000)



شکل

۲-۲: پیکرهای خالص (آزمایشگاهی) و تثبیت شده با گلوتارالدئید در میکروسکوپ الکترونی پس از رنگ آمیزی با استات اورانیل. بزرگنمایی 2×91000 میباشد.

Fig. 2.2- The purified and glutaraldehyde fixed particles of CMV-LN after staining with uranyl acetate (2×91000).



شکل ۳- مقایسه سرولوژیکی پیکره‌های خالص (آزمایشگاهی) و تثبیت ناشده CMV-LI و CMV-LN به روش نشت دو طرفه در آگار:

A: ۱۰ میکرولیتر آنتی سرم CMV-FNY ، ۱۰:۱ میکرولیتر سوسپانسیون CMV-LI

CMV-LN ۱۰:۲ میکرولیتر سوسپانسیون

B: ۱۰ میکرولیتر آنتی سرم CMV-S ، ۱۰:۱ میکرولیتر سوسپانسیون CMV-LI

CMV-LN ۱۰:۲ میکرولیتر سوسپانسیون

Fig. 3- Serological comparison of purified (Laboratory) and non-purified particles of CMV-LI and CMV-LN by means of agar diffusion method:

A: 10μ CMV-FNY antiserum., 1: $10\mu\text{l}$ CMV-LI suspension

2: $10\mu\text{l}$ CMV-LN suspension

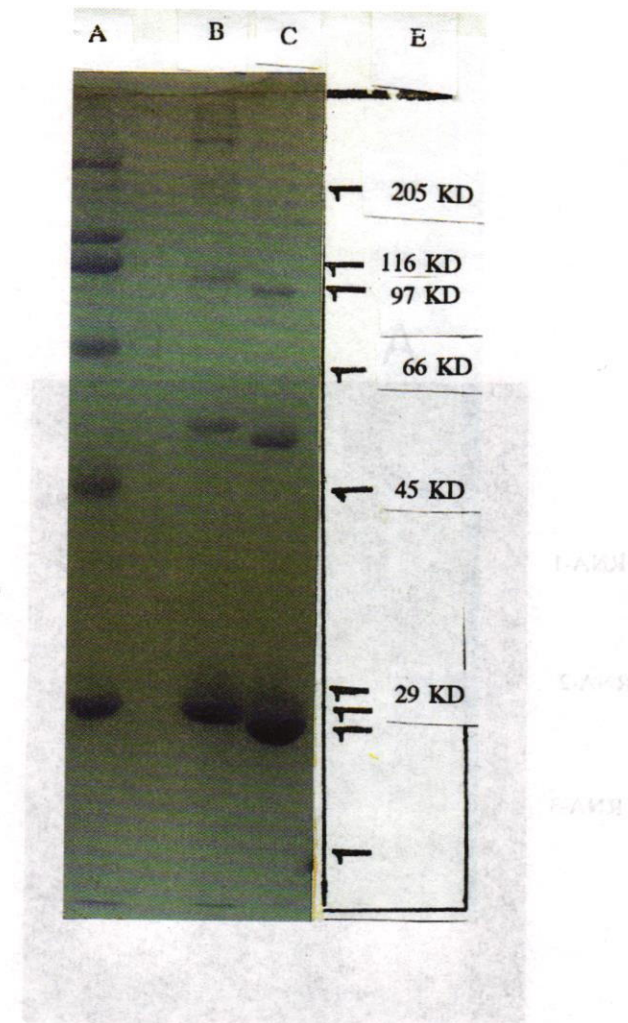
B: $10\mu\text{l}$ CMV-S antiserum, 1: $10\mu\text{l}$ CMV-LI suspension

2: $10\mu\text{l}$ CMV-LN suspension

ژنومی هستند. باند چهارمی نیز که بطور غیر متمرکز در شکل ۵ مشاهده میشود قطعات خورده و ناقص RNAهای ژنومی می باشند.

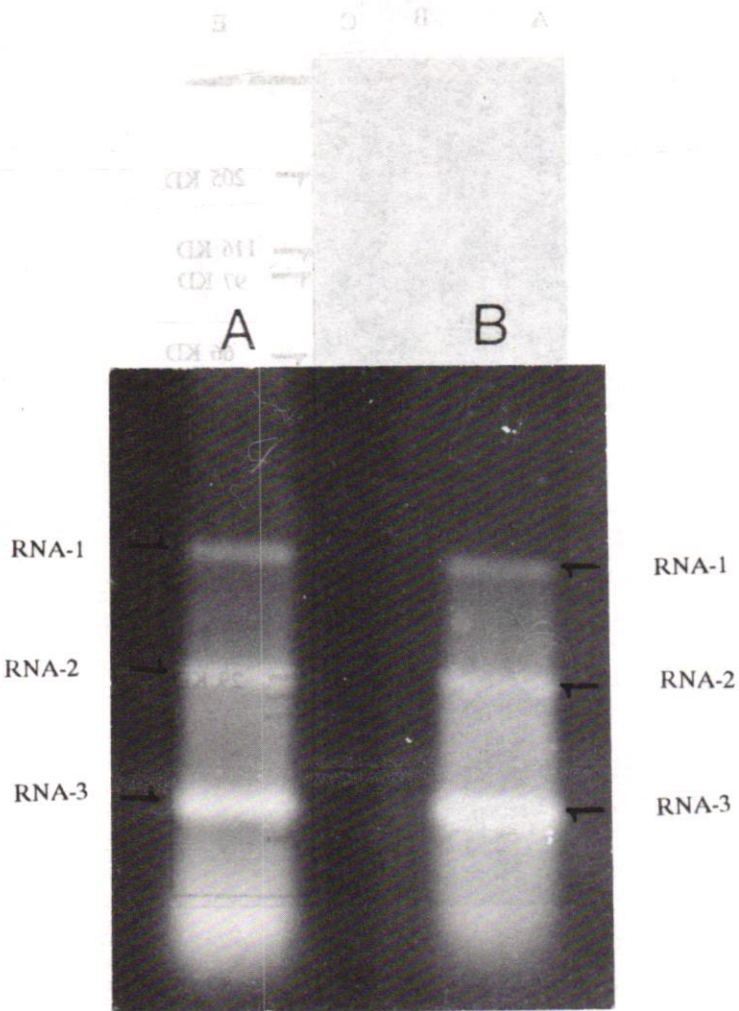
بحث

در مقایسه سرولوژیکی این دو جدایه در روش نشت دو طرفه در آگارز، مشاهده شد که دو جدایه CMV-LN و CMV-LI در برابر آنتی سرم مربوط به سروتیپ ۱ (CMV-FNY) تفاوت دارند ولی پس از تثبیت پیکره‌ها این تفاوت مشاهده نگردید. این موضوع نشان می‌دهد که دو جدایه از لحاظ شاخصه‌ای آنتی ژنتیکی (اپی توپها) متفاوت هستند.



شکل ۴- مقایسه پروتئینهای استاندارد (ستون A) با CMV-LI (ستون B) و CMV-LN (ستون C) از طریق الکتروفورز کردن ۵-۱۵ میکرولیتر از سوسپانسیون هر یک از آنها بر روی ژل پلی اکریدامید و رنگ آمیزی با بروموفنول بلو
E- وزن مولکولی پروتئینهای استاندارد

Fig. 4. Comparison of standard proteins (Column A) with CMV-LI (Coloumn B) and CMV-LN (Coloumn C) via electrophoresis of 5-15 μ l of their suspension on polyacrylamide before staning with bromophenol blue.
E- Molecular weight of standard proteins.



شکل ۵- مقایسه RNA های ژنومی CMV-LN (ستون A) و CMV-LI (ستون B) توسط الکتروفورز کردن ۱۵-۲۰ میکرولیتر از سوپانسیون هر یک از آنها به روی ژل آکارز و رنگ آمیزی با اتیدیوم برومید.

Fig. 5- Comparison of CMV-LN (Column A) genomic RNA with that of CMV-LI (Column B) Via electrophoresis of 15-20 μ l of their suspension on agarose before staining with etidium bromide

در مقایسه پروتئینهای پوششی دو جدایه مشخص گردید که وزن مولکولی واحدهای پروتئین پوششی CMV-LN بیشتر از CMV-LI است بنابراین تفاوت در خصوصیات سرولوژیکی آنها از یک طرف و اختلاف در وزن مولکولی واحدهای پروتئین پوششی از طرف دیگر این موضوع را مطرح می‌سازد که توالی نوکلئوتیدهای ژن کد کننده پروتئین پوششی آنها متفاوت است و با توجه به رفتار بیولوژیکی متفاوت آنها بر روی گیاهان آزمون بخصوص گوجه فرنگی و داتوره میتوان چنین نتیجه گیری نمود که این تفاوت تحت تاثیر پروتئین پوششی یک یا هر دو جدایه باشد (Owens & palukastis, 1988; Shintaku, 1991; Yie *et al.*, 1992).

در این راستا تحقیقات بعدی بر پایه Pseudorecombination, invitro recombination نشان می‌دهد که آیا پروتئین پوششی و در نتیجه RNA-4 یک یا هر دو جدایه موثر در رفتار بیولوژیکی آنهاست یا نه (Zitter & Gonsalves, 1991; Quemada *et al.*, 1989).

در الکتروفورز RNA های دو جدایه بر روی ژل آگارز سه نوع RNA (RNA-1, RNA-2, RNA-3) مشخص مشاهده گردید که تفاوتی از لحاظ وزن مولکولی نشان ندادند. بنابراین هیچگونه RNA اضافی بر ژنوم موثر در علایم دو جدایه وجود نداشته است. آنچه که منشاء تفاوت در خصوصیات بیولوژیکی، سرولوژیکی و پروتئین پوششی دو جدایه CMV-LI, CMV-LN بوده، اختلاف در زنجیره های نوکلئوتیدی RNA های ژنومی یا ژنوم فرعی (Subgenome) آنها است (Piazzolla *et al.*, 1979). پس تفاوت این زنجیره ها باید در تحقیقات بر پایه هیبرید کردن اسید نوکلئیک (در RNA های ژنومی و ژنوم فرعی) مورد بررسی قرار گیرد و نوکلئوتیدهای متفاوت مشخص شده و در مطالعات بعدی مورد استفاده قرار گیرند. با توجه به مباحث فوق دو جدایه CMV-LI ، CMV-LN که در این تحقیق مورد مطالعه قرار گرفتند میتوانند عوامل با ارزشی جهت انجام تحقیقات بعدی باشند.

از طرف دیگر با توجه به علائم خفیف (MCV-LI) میتوان از آن در مطالعات حفاظت تقاطعی (Cross-Protection) نیز استفاده نمود (Dodds 1982).

نشانی نگارندگان: مهندس یزدان فضلعلی، دانشکده کشاورزی تربیت مدرس تهران، دکتر علی آهونمنش ، دانشکده کشاورزی، دانشگاه صنعتی اصفهان، دکتر محمدرضا حاجی مراد و مهندس علیرضا کریمی، موسسه تحقیقات آفات و بیماریهای گیاهی، صندوق پستی ۱۴۵۴-۱۹۳۹۵ تهران.